

УДК 535.34-15

НИЗКОЧАСТОТНЫЕ ИНФРАКРАСНЫЕ СПЕКТРЫ  
МОЛЕКУЛ  $K_2SO_4$ ,  $Rb_2SO_4$  И  $Cs_2SO_4$ ,  
ИЗОЛИРОВАННЫХ В МАТРИЦАХ ИЗ ИНЕРТНЫХ ГАЗОВ.  
ИОННАЯ МОДЕЛЬ В ПРИМЕНЕНИИ К СУЛЬФАТАМ  
ЩЕЛОЧНЫХ МЕТАЛЛОВ. II

А. А. Беляева, М. И. Дворкин и Л. Д. Щерба

В диапазоне 30—1500 см<sup>-1</sup> получены инфракрасные спектры молекул  $M_2SO_4$ , изолированных в матрицах из Ar, Kr и Xe. Основные полосы поглощения в низкочастотных спектрах каждого из соединений отнесены к колебаниям M—O молекул симметрии  $D_{2d}$ . Экспериментальные результаты согласуются с расчетными данными [1].

В первой части этой работы [1] был приведен расчет по ионной модели возможных конфигураций молекул сульфатов щелочных металлов. Для молекул  $M_2SO_4$  симметрии  $D_{2d}$  было рассчитано силовое поле и частоты нормальных колебаний связей M—O.

В данной работе получены в широкой области (30—1500 см<sup>-1</sup>) инфракрасные спектры молекул  $M_2SO_4$ , изолированных в матрицах из Ar, Kr и Xe.

Экспериментальные результаты.  
Интерпретация спектров

Методика получения спектров молекул  $M_2SO_4$  в матрицах из инертных газов была аналогичной приведенной в работе [2].  $K_2SO_4$ ,  $Rb_2SO_4$  и  $Cs_2SO_4$  испарялись из платиновой эфузационной ячейки при температурах ~950, ~900 и ~850° С соответственно. Расчетное разбавление во всех случаях ~500, время осаждения 2—3 часа. Регистрация спектров производилась в диапазоне 200—1500 см<sup>-1</sup> на спектрофотометре «Хитачи-225» (спектральная ширина щели 1—2 см<sup>-1</sup>) и в диапазоне 30—400 см<sup>-1</sup> на длинноволновом инфракрасном спектрофотометре FIS-3 (спектральная ширина щели 2—4 см<sup>-1</sup>).

Спектры молекул сульфатов калия и рубидия в области колебаний группы  $SO_4^{2-}$  имеют сложную структуру, аналогичную спектру  $Cs_2SO_4$ , полученному в работе [2].

Низкочастотные спектры (30—400 см<sup>-1</sup>) молекул  $M_2SO_4$  в матрицах из Ar, Kr и Xe представлены на рис. 1—3. Частоты полос поглощения, присутствующих в этих спектрах, приводятся в табл. 1—3. Как видно из рис. 1—3, в спектрах каждого из сульфатов щелочных металлов зарегистрировано по одной интенсивной полосе поглощения и ряд более слабых. Частоты интенсивных полос достаточно хорошо согласуются с расчетными в [1] значениями валентных M—O колебаний (табл. 1—3) и отнесены нами к колебаниям  $B_2$  в молекулах  $M_2SO_4$  симметрии  $D_{2d}$ . Полуширина этих полос превышает полуширину аппаратной функции спектрального прибора. Снятые при более высоком разрешении, они имеют вид дублета, контур которого не меняется при отжиге образца.

Кроме указанных полос, в спектре  $K_2SO_4$  присутствует широкая двойная полоса поглощения в диапазоне 50—80 см<sup>-1</sup> (рис. 1), интегральная

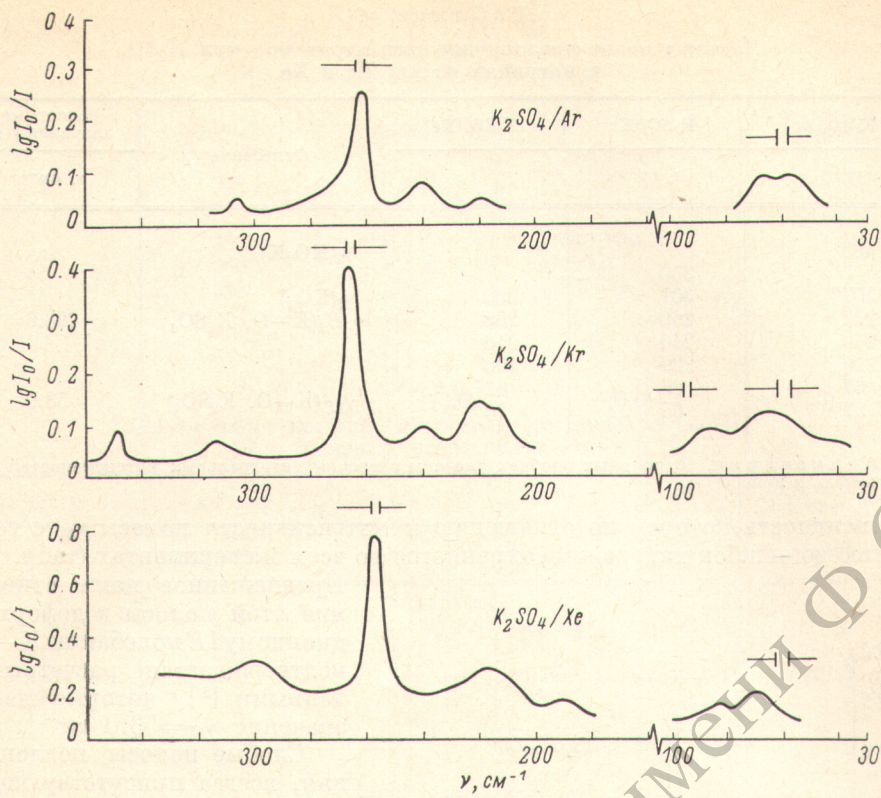


Рис. 1. Низкочастотные спектры молекул  $K_2SO_4$  в матрицах из инертных газов при  $4.2^\circ K$ .

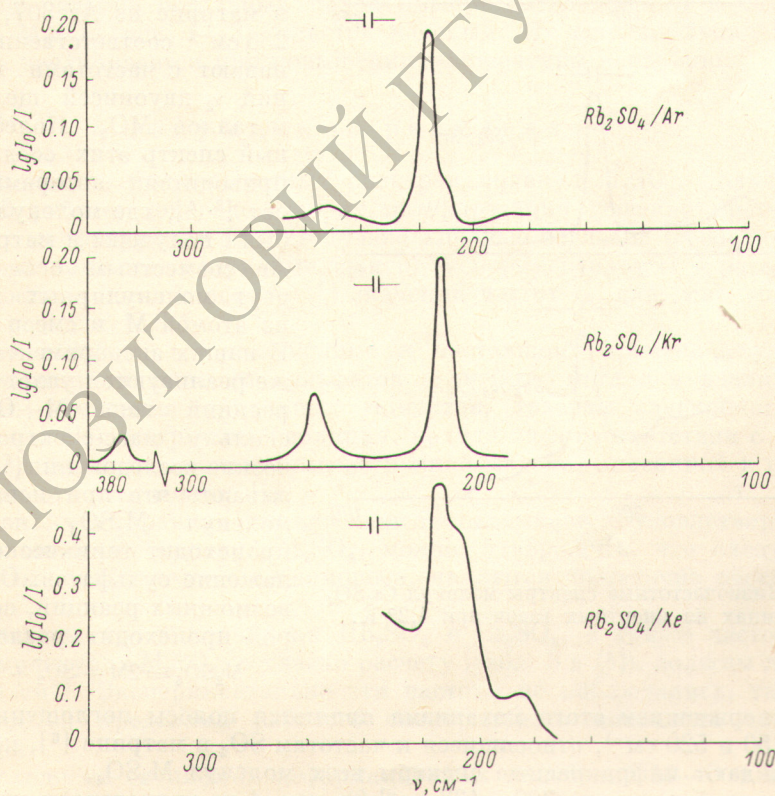


Рис. 2. Низкочастотные спектры молекул  $Rb_2SO_4$  в матрицах из инертных газов при  $4.2^\circ K$ .

Таблица 1  
Частоты полос поглощения в спектрах молекул  $K_2SO_4$   
в матрицах из Ar, Kr и Xe

$K_2SO_4/Ar$	$K_2SO_4/Kr$	$K_2SO_4/Xe$	Отнесение	Расчетные
				значения [1]
		$\nu, \text{см}^{-1}$		$\nu, \text{см}^{-1}$
433	350		$\nu_5(KO_2K)$	
307	301	300	$\nu_2(KO_2)$	
262	260	258	$\nu B_2(K-O, K_2SO_4)$	298.6
240	240	216		
220	220	190		
67	85	82	$\nu_{1E}(K-O, K_2SO_4)$	
57 (0.7)	65 (0.6)	70 (0.6)		53.0

Примечание. В круглых скобках указаны значения интегральных интенсивностей по отношению к полосе  $\nu_{B_2}$ .

интенсивность которой по отношению к интенсивности полосы  $\nu_{B_2}$  с точностью до ошибок измерений сохраняется во всех экспериментах (табл. 1).

Предложенное нами отнесение этой полосы к деформационному  $1E$  колебанию К—О подтверждается расчетными данными [1], которые дают значение  $\nu_{1E}=53.0 \text{ см}^{-1}$ .

Слабые полосы поглощения, всегда присутствующие в спектрах  $K_2SO_4$ ,  $Rb_2SO_4$ ,  $Cs_2SO_4$  и имеющие частоты в матрице из Ar 307, 255 и 236  $\text{см}^{-1}$  соответственно, совпадают с частотами колебаний  $\nu_2$  двуокисей щелочных металлов  $MO_2$ . Колебательный спектр этих соединений приводится авторами работ [3, 4], где молекулы  $MO_2$  были получены в матрице из Ar совместным осаждением двух молекулярных пучков из атомов M и смеси  $O_2/Ar$ . В наших экспериментах также реализуются условия для реакций типа  $M+O_2$ , поскольку масс-спектрометрические исследования [5] показывают, что при испарении молекул  $M_2SO_4$  частично происходит термическое разложение сульфатов. Одна из возможных реакций, по которой происходит разложение

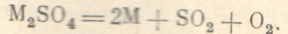


Рис. 3. Низкочастотные спектры молекул  $Cs_2SO_4$  в матрицах из инертных газов при  $4.2^\circ\text{K}$ .

Подтверждением этого механизма являются полосы поглощения при 1350, 1150 и 520  $\text{см}^{-1}$ , относящиеся к частотам  $SO_2$  в матрице [6], которые сопровождают инфракрасные спектры всех молекул  $M_2SO_4$ .

Очень слабые полосы 380 и 433  $\text{см}^{-1}$  (на рис. 1 не приведена) в спектрах  $Rb_2SO_4$  и  $K_2SO_4$  проявляются в отдельных экспериментах. Частоты этих

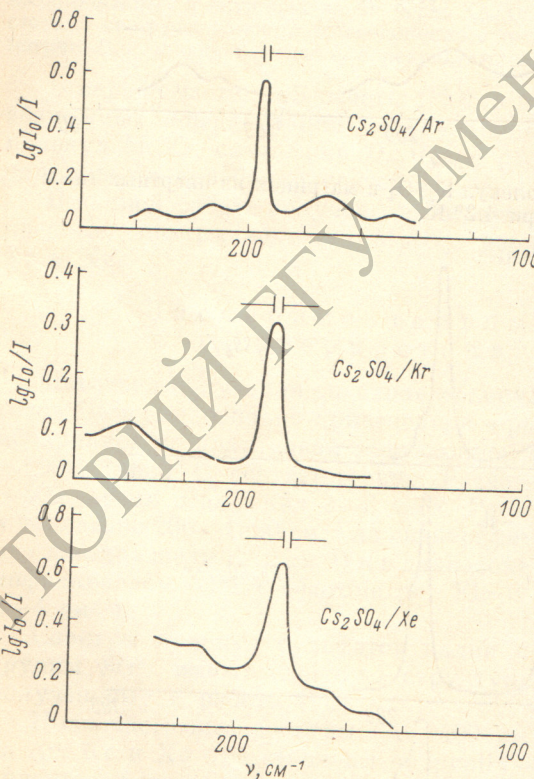


Таблица 2

Частоты полос поглощения в спектрах молекул  
 $\text{Rb}_2\text{SO}_4$  в матрицах из Ar, Kr и Xe

$\text{Rb}_2\text{SO}_4/\text{Ar}$	$\text{Rb}_2\text{SO}_4/\text{Kr}$	$\text{Rb}_2\text{SO}_4/\text{Xe}$	Отнесение	Расчетные
				значения [1]
		$\nu, \text{ см}^{-1}$		$\nu, \text{ см}^{-1}$
255	380		$\nu_5(\text{RbO}_2\text{Rb})$	
225	260		$\nu_2(\text{RbO}_2)$	
215	214	210 195	$\nu_{32}(\text{Rb—O}, \text{Rb}_2\text{SO}_4)$	246.4

Таблица 3

Частоты полос поглощения в спектрах молекул  $\text{Cs}_2\text{SO}_4$   
 в матрицах из Ar, Kr и Xe.

$\text{Cs}_2\text{SO}_4/\text{Ar}$	$\text{Cs}_2\text{SO}_4/\text{Kr}$	$\text{Cs}_2\text{SO}_4/\text{Xe}$	Отнесение	Расчетные
				значения [1]
		$\nu, \text{ см}^{-1}$		$\nu, \text{ см}^{-1}$
236	240		$\nu_2(\text{CsO}_2)$	
213	214	214		
196	190	186	$\nu_{B_2}(\text{Cs—O}, \text{Cs}_2\text{SO}_4)$	224.7
170		165		
148		150		

полос совпадают с  $\nu_5$  в соединениях типа  $\text{MO}_2\text{M}$ , также полученных авторами работ [3, 4].

Происхождение остальных полос низкой интенсивности в спектрах молекул  $\text{M}_2\text{SO}_4$  (рис. 1–3) остается неясным. Их относительная интенсивность увеличивается при повышении температуры испарения.

### Обсуждение результатов

Рассмотрение низкочастотных спектров молекул  $\text{M}_2\text{SO}_4$ , полученных в данной работе, показало, что их интерпретация успешно проводится в рамках конфигурации  $D_{2d}$ . Получено хорошее согласие (особенно если принять во внимание матричные сдвиги) экспериментальных и рассчитанных на основе ионной модели [4] значений частот  $\nu_{B_2}$  для всех молекул  $\text{M}_2\text{SO}_4$  и  $\nu_{1E}$  для  $\text{K}_2\text{SO}_4$ .

Таким образом, все полученные к настоящему времени результаты по исследованиям молекул сульфатов щелочных металлов различными методами: измерения дипольных моментов, газовая электронография (см. выводы [1]), матричная изоляция, находятся в соответствии с основными следствиями, вытекающими из ионной модели, описанной в первой части данного сообщения [1].

Поскольку выбранная ионная модель оказывается удовлетворительной для описания молекул  $\text{M}_2\text{SO}_4$ , можно утверждать, что следующие результаты, полученные с ее помощью, являются достаточно обоснованными.

1. Частоты  $\nu_{1E}$  в молекулах  $\text{Rb}_2\text{SO}_4$  и  $\text{Cs}_2\text{SO}_4$ , а также частоты  $\nu_{2E}$  во всех молекулах  $\text{M}_2\text{SO}_4$ , согласно расчету (табл. 3 в [1]), должны лежать ниже  $30 \text{ см}^{-1}$ . Экспериментально эти частоты не наблюдались, так как находятся за пределами рабочего спектрального диапазона спектрофотометра.

2. Исходя из специфики деформационных колебаний M—O в конфигурации  $D_{2d}$ , следует ожидать сильного влияния матрицы на эти колебания, приводящего к сдвигам и расщеплению полос поглощения.

3. Расчет равновесных конфигураций молекул  $M_2SO_4$  [1] показал возможность существования наряду с основным изомером симметрии  $D_{2d}$  энергетически менее выгодного изомера симметрии  $C_{2v}$ . Из рассчитанной разницы энергий двух изомеров  $\Delta U$  можно грубо оценить их константу равновесия в газовой фазе. Константа равновесия для изомеров типа X и A определяется соотношением [7]

$$K = \frac{n_X}{n_A} = \frac{\prod_1^i \left(1 - \exp - \frac{h\nu_{i(X)}}{kT}\right)^{-1}}{\prod_1^i \left(1 - \exp - \frac{h\nu_{i(A)}}{kT}\right)^{-1}} \exp - \frac{\Delta U}{kT}.$$

Считая, что при переходе от одной конфигурации к другой, частоты группы  $SO_4^{2-}$  не меняются и полагая для низких частот  $h\nu_{i(X)}/kT \ll 1$  и  $h\nu_{i(A)}/kT \ll 1$ , имеем:  $K \approx \prod_1^6 \nu_{i(A)} / \prod_1^6 \nu_{i(X)} \exp(-\Delta U/kT)$ . Приняв приближенно  $\prod_1^6 \nu_{i(A)} / \prod_1^6 \nu_{i(X)} = 1$ , оцениваем константу равновесия, как  $K = n_{C_{2v}}/n_{D_{2d}} \approx \exp(-\Delta U/kT)$ . В частности, для средних значений температур испарения в наших экспериментах можно ожидать

$$K_{K_2SO_4}(950^\circ C) \sim 0.03; K_{Rb_2SO_4}(900^\circ C) \sim 0.10; K_{Cs_2SO_4}(850^\circ C) \sim 0.15.$$

Присутствие в матрице изомеров симметрии  $C_{2v}$  из наших данных установить не удалось, поскольку колебательные частоты этих молекул в данной работе не оценивались. Был проведен ряд опытов при различных температурах испарения сульфатов. Однако приемлемый в условиях реального эксперимента диапазон изменений температур испарения оказался недостаточным, чтобы сделать определенные выводы о присутствии молекул симметрии  $C_{2v}$  в матрице.

#### Литература

- [1] А. А. Беляева, М. И. Дворкин, Л. Д. Щерба. Опт. и спектр., 38, 308, 1975.
- [2] А. А. Беляева, М. И. Дворкин, Л. Д. Щерба. Опт. и спектр., 31, 585, 1971.
- [3] L. Andrews. J. Chem. Phys., 54, 4935, 1971.
- [4] L. Andrews, J. T. Hwang, C. Trindle. J. Phys. Chem., 77, 1065, 1973.
- [5] P. J. Ficalora, O. M. Uy, D. W. Muenow, J. L. Margrave. J. Am. Ceram. Soc., 51, 577, 1968.
- [6] M. Allavena, R. Rusnik et al. J. Chem. Phys., 50, 3399, 1969.
- [7] Э. А. Мельвин-Хьюз. Физическая химия, М., кн. 2, 882, 1962.

Поступило в Редакцию 27 июля 1973 г.